



ДРЕВНИЕ ТРАВЕРТИНЫ НА ГРАНИЦЕ ОРДОВИКА И СИЛУРА: ЛИТОЛОГИЧЕСКОЕ СВИДЕТЕЛЬСТВО ИЗОТОПНОГО ФЕНОМЕНА

К. Г.-М. Н.

Т. В. Майдль

maydl@geo.komisc.ru

Изотопное «событие», связанное с оледенением и массовым вымиранием в самом конце ордовика — в хирнантии, является предметом многочисленных и всесторонних исследований. Пик интереса к данному изотопному феномену, проявившемуся в положительных трендах величин $\delta^{13}\text{C}_{\text{карб}}$, $\delta^{13}\text{C}_{\text{орг}}$, часто и величины $\delta^{18}\text{O}$, пришелся на 80—90-е гг. прошлого столетия. Различные объяснения этого феномена были обобщены и проанализированы К. Вангом, И. Маршалом, П. Бренчли и др. [16—18, 23, 24]. В настоящее время доказано, что ордовикский биотический кризис стартовал еще до начала ашгилля и развивался ступенчато [1, 7, 20]. Кульминацией же кризиса явилось событие массового вымирания, главные фазы которого совпали по времени с началом и окончанием оледенения и позднейшим ордовикским ярусом хирнантием, продолжительность которого по различным геохронологическим шкалам оценивается от 0.5—1 до ~2 млн лет. Согласно интерпретации батиметрических и изотопных данных, на начало хирнантия температура тропических вод понизилась до 8—10 °C, а уровень моря упал на 70—100 м, осушив значительную часть древних карбонатных платформ. В осадках хирнантия величина отношения $\delta^{13}\text{C}$, неизменно оставаясь аномальной, со второй его половины начала постепенно снижаться. Потепление сопровождалось активным таянием ледниковых щитов, быстрым повышением уровня моря и развитием аноксии в морских бассейнах. Изотопная углеродная аномалия исчезла.

Несмотря на то, что причины, вызвавшие эти широко распространенные изменения *далеко не ясны*, сам факт наличия стресса, обусловившего крупнейшее биотическое событие рубежа позднего ордовика—раннего силура и совпавшего по времени как со сменой обстановок седиментации, так и с упомянутым выше изотопным событием, позволяет стратиграфам весь-

ма конструктивно использовать данный изотопный эффект для региональных и глобальных корреляций [21, 16].

Гляциоэвстатическое падение уровня моря и экспонирование карбонатных платформ проявилось в крайне редкой встречаемости полных разрезов пограничных отложений и широком распространении стратиграфических перерывов на этом уровне. Хотя отчасти факты пограничного O-S несогласия могли быть вызваны и стремительным распространением силурской трансгрессии при дегляциации [16].

Новые стратиграфические и хемостратиграфические данные, полученные коллективом сотрудников Института геологии Коми НЦ УрО РАН и их эстонскими коллегами, позволили установить, что стратотипический разрез верхнего ордовика на р. Кожим (обн. Кожим-108, Кожим-116) относится к числу наиболее полных разрезов и содержит отложения аналога хирнатиевого горизонта верхнего ордовика, фиксируемого главным образом по характерным для этого уровня позитивным трендам величины $\delta^{13}\text{C}$ и цикличной смене осадочных толщ — секвенций [2, 4, 15]. В результате, литологическая пачка пород, заключенная между палеонтологически охарактеризованными позднеордовикскими и раннесилурскими толщами, и демонстрирующая позитивный углеродный изотопный эффект, была предложена в качестве самостоятельного стратиграфического подразделения — юнкошорских слоев [3, 14].

Пачка сложена преимущественно серыми вторичными доломитами с реликтами первичных структур: микробиальных, микробиально-водорослевых, биоморфных (брахиоподовые и кораллово-строматопоровые?) микритов и мелкообломочных спаритов (детритовые и пеллоидные гравелито-песчаники). Последовательная смена литотипов (илово-микробиальные, илово-водорослевые, биоморфные, биокластовые) позволяет выделить в ее составе четыре одноранговых цикла,

объединяющихся попарно в 2 секвенции, т. е. циклы, ограниченные несогласиями и коррелятивными им согласиями (рис. 1). Положительный тренд величины $\delta^{13}\text{C}_{\text{карб}}$ отмечается от плохо обнаженного контакта слоев 19, 20, с которым предположительно связана эрозионная поверхность. Эта поверхность принята нами за нижнюю границу первой юнкошорской секвенции. Стратиграфическая же граница между яптишорскими и юнкошорскими слоями проведена несколько выше, по поверхности максимального затопления и по исчезновению брахиопод *Proconchidium tuersteri* (St. Joseph). Верхняя граница этой нижней секвенции совпадает с кровлей массивных светлых кавернозных вторичных доломитов с реликтовыми биоморфными(?) структурами, перекрываемых пятнисто-комковатыми, плитчатыми, более глинистыми и темноокрашенными илово-микробиальными разностями, которые демонстрируют максимальный «позитивный сдвиг» величины $\delta^{13}\text{C}_{\text{карб}}$ и начало ее резкого снижения. Вторая (верхняя) относительно маломощная секвенция выделяется уже в составе отложений, относимых ранее (в достаточной мере условно) к джагальскому горизонту. Поверхность максимального затопления верхней секвенции фиксируется изменением цвета пород с зеленовато-темно-серого на более светлый. Несколько выше по разрезу сильно разрушенные породы приобретают пестроцветность, а еще выше их сменяют доломиты светлые (практически белые) окремненные, с частыми корками ожелезнения. Участками структура и текстура пород напоминает небольшие «строматолитоподобные» постройки. Поверхность этих белых «фарфоровидных» доломитов фиксирует границу 3-го и 4-го циклов. Верхняя часть юнкошорских слоев (4-й цикл) характеризуется незначительной мощностью (~5 м) и представлена доломитами неоднородно-серыми и светло-серыми с неотчетливой полосчатой текстурой,

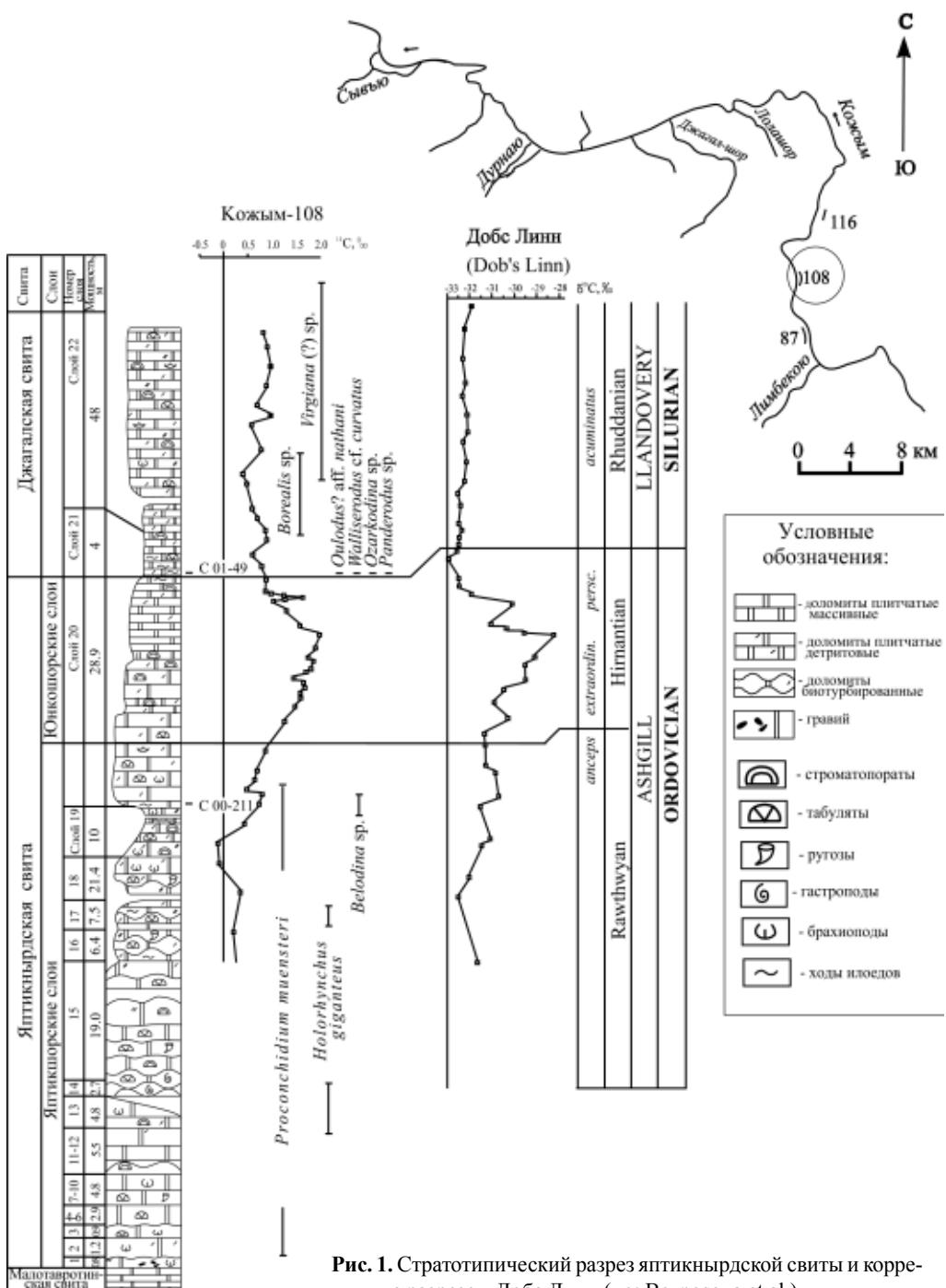




Рис. 3. Эти слоисто-полосчатые доломиты зоны 2 (выход под мешком с пробой) демонстрируют последний пик положительной изотопной аномалии (Фото П. Мянника)

р. Кожим, отмечает гляциоэвстатические изменения уровня позднеордовикского океана и косвенным образом подтверждает правильность отнесения отложений юнкошорских слоев к осадкам хирнантия.

Как уже упоминалось, внутри последней яптикнырдской секвенции в разрезе Кожим-108 на фоне общего отрицательного смещения $\delta^{13}\text{C}$ выделяется небольшой положительный пик, который пока не зафиксирован в другом исследованном нами разрезе (Кожим-116). Здесь же он обнаружен в полосчатых доломитах четвертого цикла, включающих строматолитоподобные тела небольшой мощности и характеризующихся неравномерным осветлением. Генетическая интерпретация наблюдаемых отложений долгое время вызывала затруднение, хотя синседиментационный характер структур и одновременное влияние процессов наложенного характера не вызывало сомнений, к тому же данный интервал разреза отличался частыми зонами тектонического дробления. Решение пришло после представившейся мне возможности лично ознакомиться с характеристикой современного травертинового купола на р. Сухоне, изучением которого в течение ряда лет занимаются Н. П. Юшкин и руководимые им студенты. Оказалось, что морфология наблюдавшихся нами карбонатных тел и структурно-текстурные особенности пород близки к характеристике современных известковых туфов — травертинов, отличаясь от них лишь доломитовым (а не кальцитовым) составом пород и отсутствием видимых включений минерализованных органических остатков (рис. 4, 5).

Травертины — карбонатные поро-

ды, образующиеся в местах разгрузки термальных или холодных источников углекислых, реже азотно-углекислых вод и в связанных с ними генетически содовых озерах, являясь наряду с пресноводными строматолитами характерными береговыми фаунами последних.

Как известно, травертиновые постройки представляют сложное взаимоотношение хемогенных и биохемогенных образований, обусловленное как чисто физико-химическими процессы-

но заметить, что эти зоны (зоны *a*, *b* совмещены) могут быть выделены и в описанном нами разрезе кровли юнкошорских слоев р. Кожим (см. рис. 4, 5).

Общеизвестным является также факт обогащения современных известковых туфов тяжелым изотопом углерода, сдвигающим величину отношения $\delta^{13}\text{C}_{\text{карб}}$ в положительную область значений. В этом смысле положительный пик на изотопной кривой свидетельствует в пользу травертиновой природы данных «строматолитоподобных» построек.

Найдки древних травертиновых куполов являются прекрасными индикаторами активности магматических и сейсмических процессов. Известно также, что они могут не только маркировать периоды тектонической активизации, но и позволяют реконструировать хронологию палеоклиматических событий [8, 25].

Основные условия образования травертинов (хлоридный, хлоридно-гидрокарбонатный натриевый или натриево-кальциевый состав пересыщенных CO_2 вод) и ведущая роль процессов дегазации и выпаривания определяют приуроченность травертинов к обстановкам умеренно-аридного и субаридного климата. Поэтому их появление в разрезах осадков тропической и субтропической зон может свидетельствовать об «аридизации» климата в моменты максимальных похолоданий. Во время же периодов межледниковых имеет место обратный эффект — гумидизация климата аридных зон, отмеченный Дж. Маршаллом [22].

Связь обнаруженных нами «травертиновых карбонатных построек» с периодами похолоданий проявляется не только в их стратиграфическом положении, но и подтверждается некоторыми палеоклиматическими индикаторами.

Весьма полезную климатическую информацию может дать изучение ассоциаций глинистых минералов, в том или ином количестве присутствующих в карбонатных породах. Например, установлено, что в ассоциации слоистых силикатов из современных шельфовых и озерных осадков, представленной смешанослойными иллит-смектитами, слюдами, хлоритом и каолинитом, основную генетическую нагрузку несет иллит-смектит, доля смектитовых слоев в котором увеличивается с гумидизацией и потеплением климата [9, 10]. Аналогичную диагностическую роль может отражать тенденция увеличения содержания иллита при синхронном

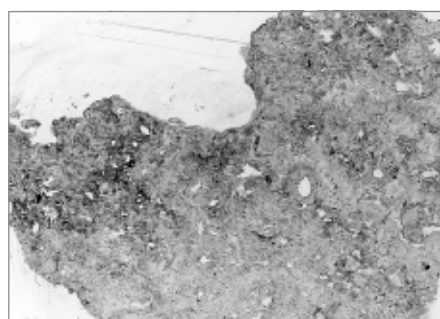


Рис. 4. Сканированное изображение петрографического шлифа современного травертина (зона 2), р. Сухона, источник «Васькин ключ»

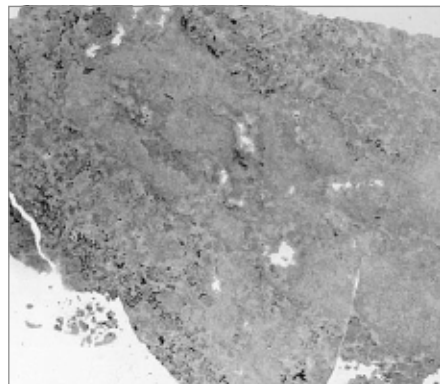


Рис. 5. Сканированное изображение петрографического шлифа предполагаемого древнего травертина (зона 2), р. Кожим

ми, так и жизнедеятельностью колоний сине-зеленых (цианобактерий) и диатомовых водорослей. Для травертиновых куполов характерна определенная, хотя и не всегда полностью проявленная, минералогическая зональность. В типичном случае выделяют [8] четыре последовательных зоны: а) сильного ожелезнения (приурочена непосредственно к месту разгрузки вод), б) ожелезнения и начального травертинообразования (переходная), в) интенсивного образования и г) замедленного образования травертинов. Зоны *a* и *b* отличаются красноцветностью, зона *c* характеризуется практически белым цветом, а в зоне *d* присутствует желтоватая и зеленоватая окраска. Кроме того, две последние зоны отличаются слоистой текстурой, обусловленной зональностью минеральных агрегатов. Не труд-



Результаты рентгенодифрактометрического анализа глинистой фракции доломитов по профилю древнего травертина

№ пробы	Смектит	Хлорит	Гидрослюд	Смешанослойные	Каолинит
20-т-19	+	+	+++	X-C	+
20-т-20а	-	+	++	И-X	+
20-т-20	-	+	+	И-X, И-C	+

Примечание. X-C — хлорит-смектит, И-X — иллит-хлорит, И-C — иллит-смектит; +++ — много; + ? — следы; - — отсутствует.

уменьшении иллит-смектитов с максимальным содержанием в последнем смектитовых слоев. Это явление объясняется фиксированием катионов калия в смектитовых межслоях, особенно эффективно протекающее в поверхностных условиях при смачивании-высыхании осадка.

Рентгенографический анализ глинистой фракции проб, отобранных нами по профилю предполагаемых древних травертинов разреза Кожим-108 (пронализированных Ю. Симаковой): от вмещающих глинистых доломитов (проба 20-Т-19) к пёстроцветным доломитам начального травертинообразования (проба 20-Т-20а) и небольшим «травертиновым» постройкам (проба 20-Т-20б), показал присутствие в них однотипной ассоциации гидрослюд, смешанослойных, смектита, хлорита и каолинита (табл. 1). В проанализированных пробах преобладают гидрослюды, представленные в основном тонкодисперсным иллитом, смешанослойные. Прочие слоистые силикаты присутствуют в небольших количествах. Появление в ассоциации иллит-смектита и существенное уменьшение концентрации иллита в травертиновых пробах, фиксируемое уменьшением высоты пиков на дифрактограммах, как уже упоминалось, являются очень чуткими климатическими индикаторами смены тепло/холод и подтверждают факт со-впадения травертинообразования в изучаемом нами разрезе с похолоданием климата.

Показателем обстановок и климата может служить также собственно химический состав пород, соотнесенный с определенным стандартом через систему предложенных Я. Э. Юдовичем и М. П. Кетрис литохимических модулей [13]. Химический состав проб, отобранных по профилю от зоны начального травертинообразования (проба 20-Т-20а) — к травертиновому куполу (проба 20-Т-23), представлен в табл. 2 (аналитик Т. Д. Косырева). Здесь же приведены значения наиболее значимых в диагностическом плане литохимических модулей.

Таблица 1

личного модуля (ЩМ). Подобные значения характерны либо для пород с примесью пирокластики, либо для содержащих «незрелые» продукты выветривания [13]. Учитывая результаты анализа глинистых фракций, последнее кажется более вероятным и указывает на относительно холодный и сухой климат в областях сноса и преобладание процессов физического выветривания.

Обсуждение результатов

Как видно, литохимическая характеристика интересующих нас пород не противоречит отнесению их к травертиновым образованиям. Обнаружение древних травертинов, сформировавшихся на рубеже ордовикской и силурской эпох, позволяет с достаточной долей уверенности утверждать, что процессы формирования гидрокарбонатных обогащенных углекислотой и отличающихся повышенной щелочностью вод могли быть достаточно широко распространены во время гляциоэвстатических падений уровня моря и частичного экспонирования карбонатных платформ, пополняя в какой-то мере щелочной баланс шельфовых вод океана во время таяния и отступления ледников. Однако наиболее важным нам

Таблица 2
Результаты полного химического анализа проб травертиновых построек

Компонент, модуль	Номер пробы			
	20-Т-20а	20-Т-20б	20-Т-21	20-Т-23
SiO ₂	2.19	0.61	3.24	0.39
TiO ₂	0.057	0	0.012	0
Al ₂ O ₃	0.7	0.1	0.1	0.2
Fe ₂ O ₃ об	0.23	0	0.077	0.03
MnO	0.02	0.024	0	0.018
MgO	20.96	21.78	20.24	21.7
CaO	29.29	30.08	30.08	30.08
Na ₂ O	0.2	0.16	0.16	0.17
K ₂ O	0.21	0.059	0.072	0.03
P ₂ O ₅	0.021	0.002	0.017	0.008
ППП	45.74	46.78	45.46	47.08
Сумма	99.62	99.59	99.46	99.71
FeO	0.09	0	0.02	0.02
H ₂ O ⁺	0.18	0	0.1	0.1
CO ₂	44.63	45.65	44.58	46.09
АМ	0.32	0.16	0.03	0.51
ГМ	0.45	0.16	0.06	0.59
ТМ	0.08	0.00	0.12	0.00
НМ	0.286	1.600	1.600	0.850
КМ	0.3	0.59	0.72	0.15
ЩМ	0.95	2.71	2.22	5.67
НМ+КМ	0.59	2.19	2.32	1.00
ЖМ	0.33	0.24	0.69	0.24

Примечание: АМ — алюминиевый модуль, ГМ — гидролизный модуль, ТМ — титановый модуль, НМ — натриевый модуль, КМ — калиевый модуль, ЩМ — щелочной модуль, НМ+КМ — нормированная щелочность, ЖМ — железистый модуль. Значения модулей рассчитывались по [13].



представляется сам факт широкого распространения в эпохи похолоданий щелочных обстановок седиментации.

В силу своей природы карбонаты являются чутким индикатором изменений в системе геосферных взаимодействий, в том числе в климатической системе. Как известно, именно экзогенный цикл углерода обеспечивает относительную стабильность поверхностной температуры Земли, препятствуя ее перегреву [11]. Этот процесс происходит главным образом путем усиления карбонатообразования и удаления из системы лишней углекислоты. Химизм процесса предполагает наличие высокого щелочного резерва океанических вод, то есть повышенного содержания в них ионов HCO_3^- , формирование которых обусловлено ассоциацией-диссоциацией в системе $\text{CaCO}_3\text{твр} - \text{H}_2\text{O} - \text{CO}_2\text{акв}$. Как известно, эквилибрационные процессы приводят к утяжелению изотопного состава растворенного CO_2 , а их скорости во много раз превышают скорость поступления дополнительного CO_2 путем дифундирования из воздуха [5]. Таким образом, закладывается основа для «позитивного сдвига» значений $\delta^{13}\text{CO}_2\text{акв}$, тем более значимого, чем более низкой была температура поверхностных вод.

В континентальных обстановках аналогичные процессы должны были приводить к формированию обогащенных CO_2 гидрокарбонатных вод и травертинов, при их дегазации и испарении.

В настоящее время в литературе широко обсуждается значимость щелочных обстановок (обстановок «соловых озер») для возникновения и распространения жизни [6]. Можно добавить, что похолодания, связанные с климатическими изменениями, предваряющими оледенения, могли не только способствовать распространению такого рода обстановок, но и сами собой являлись мощным фактором эволюции.

Могли ли данные обстановки являться причиной формирования позднеордовикского изотопного феномена? Прежде всего необходимо отметить неоднократность и однотипность проявлений подобных изотопных феноменов в истории Земли [12] и их частое совпадение с эпохами глобальных похолоданий. Такое совпадение позволяет предположить наличие каких-либо связей между формированием положительных изотопных аномалий и характером существующей системы об-

ратных связей, определяющих развитие климатических процессов. Несомненно, данный вопрос затрагивает большой круг проблем, требующих специального обсуждения, но для их решения, возможно, будут полезны и изложенные нами данные.

ЛИТЕРАТУРА

1. Ахметьев М. А. Причинно-следственные связи и факторы глобальных биосферных перестроек // Современные проблемы геологии. М.: Наука, 2004. С. 463—492.
2. Безносова Т. М., Мянник П. Граница ордовикской и силурской систем // Вестник ИГ Коми НЦ УрО РАН. 2002. №10. С. 3—6.
3. Безносова Т. М., Мянник П., Майдль Т. В. Стратиграфический объем и строение яптикнырдской свиты верхнего ордовика Приполярного Урала // Вестник ИГ Коми НЦ УрО РАН. 2006. № 10.
4. Безносова Т. М., Мянник П., Мартма Т. и др. Граница ордовика и силура на Приполярном Урале: новые результаты и проблемы // Геология и минеральные ресурсы европейского северо-востока России: Материалы XIV геол. съезда Республики Коми. Сыктывкар 2004. Т.3. С. 224—227.
5. Гвоздецкий Н. А. Карст. М., 1981.
6. Заварзин Г. А., Жилина Т. Н. Содовые озера — природная модель древней биосфера континента // Природа, 2000. № 2.
7. Корень Т. Н., Попов Л. Е. Влияние климатических изменений на структуру морской биоты на примере позднеордовикского биотического кризиса // Экосистемные перестройки в эволюции биосфера. М.: Недра, 1994. Вып. 1. С. 241—248.
8. Лаврушин В. Ю., Кулешов В. Н., Киквадзе О. Е. Травертины Северного Кавказа // Литология и полезные ископаемые, 2006. №2. С. 154—182.
9. Пальник Н. А., Солотчина Э. П., Гольдберг, Горбаренко С. А. Анализ взаимосвязи минерального состава и палеоклиматических сигналов в осадках Охотского моря // Теория, история, философия и практика минералогии: Материалы Междунар. минерал. семинара. Сыктывкар, 2006. С. 265—267.
10. Солотчина Э. П., Столповская В. Н., Кузьмин М. И. и др. Первые результаты минералогических исследований глубоководных осадков озера Хубсугул (Монголия) // Теория, история, философия и практика минералогии. Сыктывкар, 2006. С. 190—191.
11. Чумаков Н. М. Причины глобальных климатических изменений по геологическим данным // Стратиграфия, геологическая корреляция. 2005. Т.13, № 3. С. 3—25.
12. Юдович Я. Э. Карельский изотопный феномен: неразгаданная загадка // Вестник ИГ Коми НЦ УрО РАН. 2006. № 2. С. 9—12.
13. Юдович Я. Э., Кетрис М. П. Основы литохимии. СПб.: Наука, 2000. 497 с.
14. Beznosova T., Maydl T., Mannik P. Yaptiknyrd Formation – a new stratigraphical unit recognized in the Uppermost Ordovician strata in the Subpolar Urals. // The 6th Baltic Stratigraphical Conference, August 23—25, 2005, St. Peterburg. Abstracts. St. Peterburg, 2005.
15. Beznosova T., Maydl T., Mannik P., Martma T. Ordovician-Silurian boundary in the Subpolar Urals; the same new developments // Conference Proceeding of WOGOGOB–2004: Tartu, Estonia. 2004. P. 65—66.
16. Brenchley P. J., Garden J. A., Hints I. High-resolution isotope stratigraphy of Late Ordovician sequences: constraints on the timing of bioevents and environmental changes associated with mass extinction and glaciation // Bull. Geol. Soc. Amer. 2003. Vol. 115. P. 89—104.
17. Brenchley P. J., Marshall J. D., Robertson D. B. R. et al. Batimetric and isotopic evidence for a short-lived Late Ordovician glaciation in a greenhouse period // Geology. 1994. Vol. 22. P. 295—298.
18. Brenchley P. J., Marshall J. D., Underwood C. J. Did all mass extinction represent an ecological crisis? Evidence from the Late Ordovician // Geol. J. 2001. Vol. 36. P. 329—340.
19. Ghienne J.-F. Late Ordovician sedimentary environments, glacial cycles, and post-glacial transgression in the Taoudeni Basin, West Africa // Palaeogeography, Palaeoclimatology, Palaeoecology. 2003. Vol. 189. P. 117—145.
20. Hallam A., Wignall P. B. Mass extinctions and sea-level changes // Earth-Science Reviews. 1999. Vol. 48. P. 217—250.
21. Kaljo D., Hints L., Martma T., Nolvak J. Carbon isotope stratigraphy in the latest Ordovician of Estonia // Chemical Geology. 2001. Vol. 175. 49—59.
22. Marshall J. E. A., Astin T. R., Evans F., Almond J. The Palaeoclimatic Significance of the Devonian-Carboniferous Boundary // Geology of Devonian System. Syktyvkar, 2002. P. 23—25.
23. Marshall J. D., Brenchley P., Mason P. et al. Global carbon isotopic events associated with mass extinction and glaciation in the Ordovician // Palaeogeogr., Palaeoclimat., Palaeoecology. 1997. Vol. 132. P. 195—210.
24. Wang K., Chatterton B. D. E., Wang Y. An organic carbon isotope record of Late Ordovician to Early Silurian marine sedimentary rocks, Yangtze Sea, South China: Implications for CO_2 changes during the Hirnantian glaciation // Palaeogeography, Palaeoclimatology, Palaeoecology. 1997. Vol. 132. P. 147—158.
25. Poage M. A., Sjostrom D. J., Goldberg J. et al. Isotopic evidence for Holocene climate change in the northern Rockies from goethite-rich ferricrete chronosequence // Chemical Geology. 2000. Vol. 166. P. 337—340.